

Implementación Digital y Sintonización de Controladores en Tiempo Discreto

Andrés Mora ¹

¹Universidad Técnica Federico Santa María, Valparaíso, Chile

Primavera, 2019



Contents

1 Implementación Digital de Controladores Utilizando PWM

- Implementación Digital [1]
- The Pulse-Transfer Function [2]

2 Sintonización de Controladores en Dominio z

- Lazo de Corriente
- Lazo de Velocidad

3 References

1 Implementación Digital de Controladores Utilizando PWM

- Implementación Digital [1]
- The Pulse-Transfer Function [2]

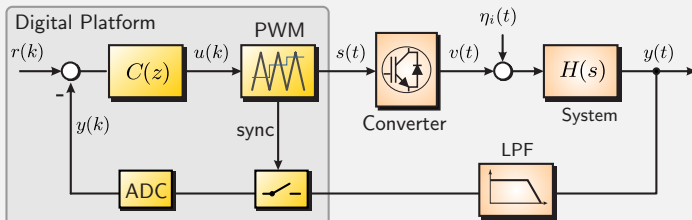
2 Sintonización de Controladores en Dominio z

- Lazo de Corriente
- Lazo de Velocidad

3 References

Implementación Digital [1]

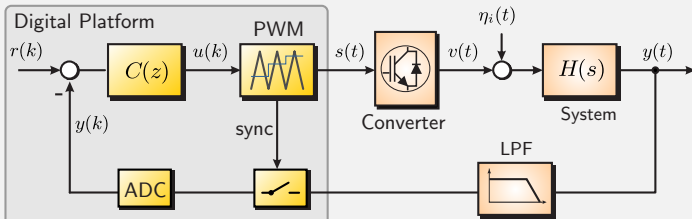
Implementación Digital de Control Lineal y PWM



- La planta esta constituida por el convertidor, el sistema y el filtro pasabajos para evitar *aliasing*.
- El modulador no solo se utiliza para sintetizar la tensión deseada, sino que también para sincronizar todo el proceso digital (mediciones, ejecución de algoritmos y calculo de actuaciones).
- Define frecuencia de muestreo f_s (relacionada con frecuencia de *carrier* f_{cr})
- Se requiere conocer modelo discreto de la planta vista por el procesador $H(z)$.

Implementación Digital [1]

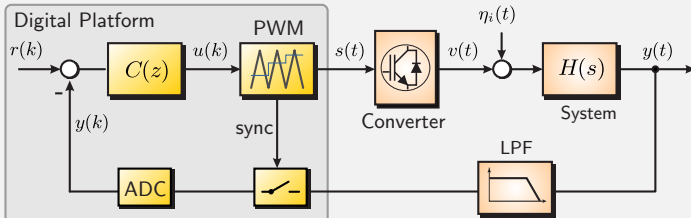
Implementación Digital de Control Lineal y PWM



- La planta esta constituida por el convertidor, el sistema y el filtro pasabajos para evitar *aliasing*.
- El modulador no solo se utiliza para sintetizar la tensión deseada, sino que también para sincronizar todo el proceso digital (mediciones, ejecución de algoritmos y calculo de actuaciones).
- Define frecuencia de muestreo f_s (relacionada con frecuencia de *carrier* f_{cr})
- Se requiere conocer modelo discreto de la planta vista por el procesador $H(z)$.

Implementación Digital [1]

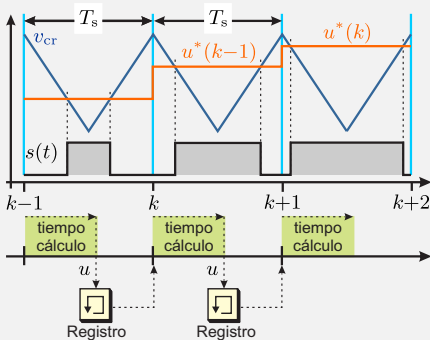
Implementación Digital de Control Lineal y PWM



- La planta esta constituida por el convertidor, el sistema y el filtro pasabajos para evitar *aliasing*.
- El modulador no solo se utiliza para sintetizar la tensión deseada, sino que también para sincronizar todo el proceso digital (mediciones, ejecución de algoritmos y calculo de actuaciones).
- Define frecuencia de muestreo f_s (relacionada con frecuencia de *carrier* f_{cr})
- Se requiere conocer modelo discreto de la planta vista por el procesador $H(z)$.

Implementación Digital [1]

Delay sistema digital

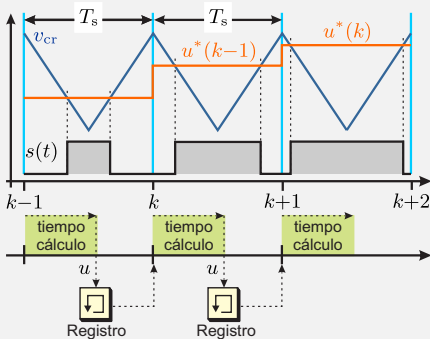


- Muestreo y cómputo no puede realizarse en un tiempo igual a cero.
- La actuación se almacena en un registro a la espera de la siguiente interrupción.
- Sistema digital inherentemente incorpora un retardo asociado al periodo de muestreo T_s .

- La actuación que se aplica durante $k + 1 < t \leq k + 2$ se determina con las mediciones realizadas en el instante k .
- Esto se modela como un retardo de transporte e^{-sh} que en el plano z es directamente z^{-1} .
- Se define $z \triangleq e^{sh}$.

Implementación Digital [1]

Delay sistema digital



- Muestreo y cómputo no puede realizarse en un tiempo igual a cero.
- La actuación se almacena en un registro a la espera de la siguiente interrupción.
- Sistema digital inherentemente incorpora un retardo asociado al periodo de muestreo T_s .

- La actuación que se aplica durante $k + 1 < t \leq k + 2$ se determina con las mediciones realizadas en el instante k .
- Esto se modela como un retardo de transporte e^{-sh} que en el plano z es directamente z^{-1} .
- Se define $z \triangleq e^{sh}$.

Contents

1 Implementación Digital de Controladores Utilizando PWM

- Implementación Digital [1]
- The Pulse-Transfer Function [2]

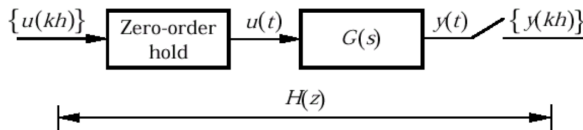
2 Sintonización de Controladores en Dominio z

- Lazo de Corriente
- Lazo de Velocidad

3 References

The Pulse-Transfer Function [2]

Muestreo de sistema continuo $G(s)$ [3]

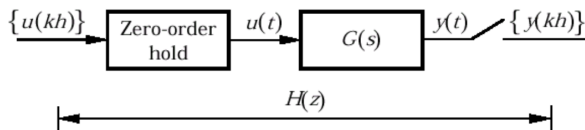


- Es posible diseñar controlador en tiempo continuo y luego discretizar el controlador para su implementación en tiempo discreto (dominio z).
- **Para diseñar el controlador directamente en z** , se requiere conocer modelo de la planta vista por el procesador $H(z)$.
- $H(z)$ es conocida como *Pulse-Transfer Function* (PTF) y caracteriza las respuesta discreta del sistema.
- Una forma de hacerlo es calculando TZ de $\mathcal{L}^{-1}\{H_{zoh}(s)G(s)\}$ según

$$H(z) = \mathcal{Z}\left\{\frac{1 - e^{-hs}}{s} G(s)\right\} = (1 - z^{-1})\mathcal{Z}\left\{\frac{G(s)}{s}\right\}$$

The Pulse-Transfer Function [2]

Muestreo de sistema continuo $G(s)$ [3]

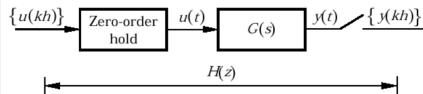


- Es posible diseñar controlador en tiempo continuo y luego discretizar el controlador para su implementación en tiempo discreto (dominio z).
- **Para diseñar el controlador directamente en z** , se requiere conocer modelo de la planta vista por el procesador $H(z)$.
- $H(z)$ es conocida como *Pulse-Transfer Function* (PTF) y caracteriza las respuesta discreta del sistema.
- Una forma de hacerlo es calculando TZ de $\mathcal{L}^{-1}\{H_{zoh}(s)G(s)\}$ según

$$H(z) = \mathcal{Z}\left\{\frac{1 - e^{-hs}}{s}G(s)\right\} = (1 - z^{-1})\mathcal{Z}\left\{\frac{G(s)}{s}\right\}$$

The Pulse-Transfer Function [2]

Muestreo de sistema continuo $G(s)$



- Forma analítica

$$H(z) = \mathcal{Z}\left\{\frac{1 - e^{-hs}}{s} G(s)\right\} = (1 - z^{-1}) \mathcal{Z}\left\{\frac{G(s)}{s}\right\} \quad (1)$$

- Consideremos una planta de primer orden $G(s) = 1/(\tau s + 1)$. Entonces, según Tabla 2.3 en [3]

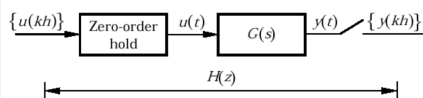
$$\mathcal{Z}\left\{\frac{G(s)}{s}\right\} = \frac{z}{z - 1} \frac{1 - e^{-h/\tau}}{z - e^{-h/\tau}}$$

- De acuerdo con (1), la TF en el dominio z vista por el sistema digital es

$$\frac{1}{\tau s + 1} \longrightarrow H(z) = \frac{1 - e^{-h/\tau}}{z - e^{-h/\tau}} \quad (2)$$

The Pulse-Transfer Function [2]

Muestreo de sistema continuo $G(s)$



- Forma analítica

$$H(z) = \mathcal{Z}\left\{\frac{1 - e^{-hs}}{s} G(s)\right\} = (1 - z^{-1}) \mathcal{Z}\left\{\frac{G(s)}{s}\right\} \quad (1)$$

- Consideremos una planta de primer orden $G(s) = 1/(\tau s + 1)$. Entonces, según Tabla 2.3 en [3]

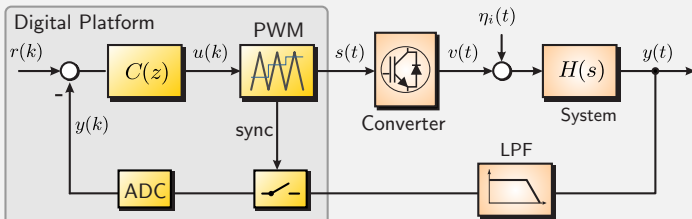
$$\mathcal{Z}\left\{\frac{G(s)}{s}\right\} = \frac{z}{z - 1} \frac{1 - e^{-h/\tau}}{z - e^{-h/\tau}}$$

- De acuerdo con (1), la TF en el dominio z vista por el sistema digital es

$$\frac{1}{\tau s + 1} \longrightarrow H(z) = \frac{1 - e^{-h/\tau}}{z - e^{-h/\tau}} \quad (2)$$

The Pulse-Transfer Function [2]

Implementación Digital de Control Lineal y PWM



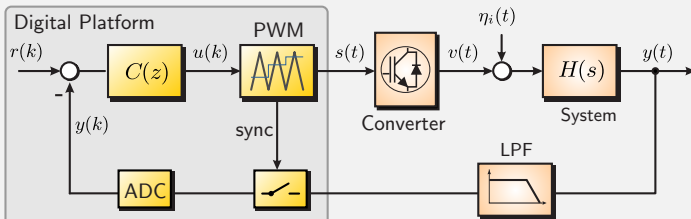
- En caso de utilizar filtro *antialiasing* ($f_c \leq f_s/2$), este también tiene que incluirse para obtener $H(z)$. En este caso $G(s) = H(s)F(s)$
- Afortunadamente, en MATLAB existe una herramienta (c2d) que permite calcular directamente $H(z)$ a partir de $G(s)$.
- La aproximación ZOH de un PI tiene la forma

$$C(s) = k_c \frac{(\tau_c s + 1)}{\tau_c s} \longrightarrow C(z) = k_c \frac{z - n_c}{z - 1} \quad (3)$$

donde $n_c = 1 - h/\tau_c$.

The Pulse-Transfer Function [2]

Implementación Digital de Control Lineal y PWM



- En caso de utilizar filtro *antialiasing* ($f_c \leq f_s/2$), este también tiene que incluirse para obtener $H(z)$. En este caso $G(s) = H(s)F(s)$
- Afortunadamente, en MATLAB existe una herramienta (c2d) que permite calcular directamente $H(z)$ a partir de $G(s)$.
- La aproximación ZOH de un PI tiene la forma

$$C(s) = k_c \frac{(\tau_c s + 1)}{\tau_c s} \longrightarrow C(z) = k_c \frac{z - n_c}{z - 1} \quad (3)$$

donde $n_c = 1 - h/\tau_c$.

1 Implementación Digital de Controladores Utilizando PWM

- Implementación Digital [1]
- The Pulse-Transfer Function [2]

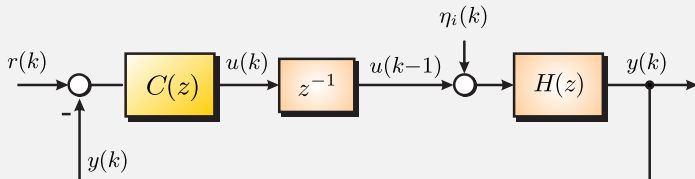
2 Sintonización de Controladores en Dominio z

- Lazo de Corriente
- Lazo de Velocidad

3 References

Lazo de Corriente

Lazo Cerrado: PI + delay + Planta 1er orden



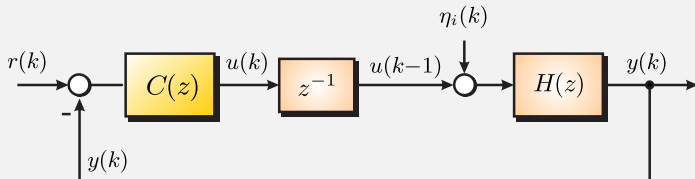
- Según (2), un sistema de 1er orden muestreado con ZOH tiene una FT $H(z) = \frac{n_o}{z-d_o}$, donde $d_o = e^{-h/\tau_p}$ y $n_o = k_p(1-d_o)$.
- Si la frecuencia de muestreo f_s es mucho más rápida que los modos naturales **más rápidos del sistema** ($f_s \gg 2\pi f_n$).

$$H_{LC}(z) = \frac{k_c n_o (z - n_c)}{z^2 + (k_c n_o - d_o - 1)z + (d_o - k_c n_o n_c)} \quad (4)$$

- La ganancia de lazo cerrado para $\omega = 0$ es $H_{LC}(z=1) = 1$. Entonces no hay error en estado estacionario ($\implies r(k) = y(k)$).
- ¿Cómo ajustar k_c y n_c dados ζ , ω_n y T_s ?

Lazo de Corriente

Lazo Cerrado: PI + delay + Planta 1er orden



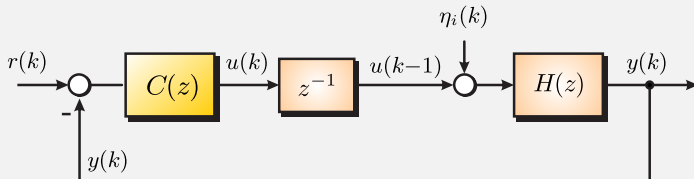
- Según (2), un sistema de 1er orden muestreado con ZOH tiene una FT $H(z) = \frac{n_o}{z-d_o}$, donde $d_o = e^{-h/\tau_p}$ y $n_o = k_p(1-d_o)$.
- Si la frecuencia de muestreo f_s es mucho más rápida que los modos naturales **más rápidos del sistema** ($f_s \gg 2\pi f_n$).

$$H_{LC}(z) = \frac{k_c n_o (z - n_c)}{z^2 + (k_c n_o - d_o - 1)z + (d_o - k_c n_o n_c)} \quad (4)$$

- La ganancia de lazo cerrado para $\omega = 0$ es $H_{LC}(z=1) = 1$. Entonces no hay error en estado estacionario ($\implies r(k) = y(k)$).
- ¿Cómo ajustar k_c y n_c dados ζ , ω_n y T_s ?

Lazo de Corriente

Lazo Cerrado: PI + delay + Planta 1er orden



- Según (2), un sistema de 1er orden muestreado con ZOH tiene una FT $H(z) = \frac{n_o}{z-d_o}$, donde $d_o = e^{-h/\tau_p}$ y $n_o = k_p(1 - d_o)$.
- Si la frecuencia de muestreo f_s es mucho más rápida que los modos naturales **más rápidos del sistema** ($f_s \gg 2\pi f_n$).

$$H_{LC}(z) = \frac{k_c n_o (z - n_c)}{z^2 + (k_c n_o - d_o - 1)z + (d_o - k_c n_o n_c)} \quad (4)$$

- La ganancia de lazo cerrado para $\omega = 0$ es $H_{LC}(z=1) = 1$. Entonces no hay error en estado estacionario ($\implies r(k) = y(k)$).
- ¿Cómo ajustar k_c y n_c dados ζ , ω_n y T_s ?

Lazo de Corriente

FT Lazo cerrado para PI + planta primer orden

$$H_{LC}(z) = \frac{k_o(z - n_c)}{z^2 + (k_o - d_o - 1)z + (d_o - k_o n_c)}$$

- Consideremos el sistema en tiempo continuo

$$\frac{\omega_n^2}{s^2 + 2\zeta\omega_n s + \omega_n^2} \quad (5)$$

Los polos del sistema discreto correspondiente estan dados por

$$z^2 + a_1 z + a_2 = 0 \quad (6)$$

donde

$$\begin{aligned} a_1 &= -2e^{-\zeta\omega_n T_s} \cos(\omega_n T_s \sqrt{1-\zeta^2}) \\ a_2 &= e^{-2\zeta\omega_n T_s} \end{aligned}$$

- Entonces los parámetros deseados serán:

$$k_c = \frac{a_1 + d_o + 1}{n_o} \quad ; \quad n_c = \frac{d_o - a_2}{a_1 + d_o + 1} \quad (7)$$

Lazo de Corriente

FT Lazo cerrado para PI + planta primer orden

$$H_{LC}(z) = \frac{k_o(z - n_c)}{z^2 + (k_o - d_o - 1)z + (d_o - k_o n_c)}$$

- Consideremos el sistema en tiempo continuo

$$\frac{\omega_n^2}{s^2 + 2\zeta\omega_n s + \omega_n^2} \quad (5)$$

Los polos del sistema discreto correspondiente estan dados por

$$z^2 + a_1 z + a_2 = 0 \quad (6)$$

donde

$$\begin{aligned} a_1 &= -2e^{-\zeta\omega_n T_s} \cos(\omega_n T_s \sqrt{1-\zeta^2}) \\ a_2 &= e^{-2\zeta\omega_n T_s} \end{aligned}$$

- Entonces los parámetros deseados serán:

$$k_c = \frac{a_1 + d_o + 1}{n_o} \quad ; \quad n_c = \frac{d_o - a_2}{a_1 + d_o + 1} \quad (7)$$

1 Implementación Digital de Controladores Utilizando PWM

- Implementación Digital [1]
- The Pulse-Transfer Function [2]

2 Sintonización de Controladores en Dominio z

- Lazo de Corriente
- Lazo de Velocidad

3 References

Lazo de Velocidad: $H(z)$ de un integrador

- Lazo de velocidad en FOC la planta es $G(s) = k_\omega/s$, donde

$$k_\omega = \frac{p}{J} k_T L_m i_{mr}^*$$

- Entonces, según Tabla 2.3 en [3]

$$\mathcal{Z}\left\{\frac{G(s)}{s}\right\} = \mathcal{Z}\left\{\frac{k_\omega}{s^2}\right\} = k_\omega \frac{zh}{(z-1)^2}$$

- De acuerdo con (1), la TF en el dominio z vista por el sistema digital de un integrador es:

$$\frac{k_\omega}{s} \longrightarrow H(z) = \frac{h}{z-1} \quad (8)$$

- Notar que esta PTF tiene la misma forma que la PTF de un sistema de primer orden (2).

Lazo de Velocidad: $H(z)$ de un integrador

- Lazo de velocidad en FOC la planta es $G(s) = k_\omega/s$, donde

$$k_\omega = \frac{p}{J} k_T L_m i_{mr}^*$$

- Entonces, según Tabla 2.3 en [3]

$$\mathcal{Z}\left\{\frac{G(s)}{s}\right\} = \mathcal{Z}\left\{\frac{k_\omega}{s^2}\right\} = k_\omega \frac{zh}{(z-1)^2}$$

- De acuerdo con (1), la TF en el dominio z vista por el sistema digital de un integrador es:

$$\frac{k_\omega}{s} \longrightarrow H(z) = \frac{h}{z-1} \quad (8)$$

- Notar que esta PTF tiene la misma forma que la PTF de un sistema de primer orden (2).

Lazo de Velocidad

FT Lazo cerrado para PI + Integrador

$$H_{LC}(z) = \frac{k_o(z - n_c)}{z^2 + (k_o - d_o - 1)z + (d_o - k_on_c)} \quad ; \quad d_o = 1$$

- Entonces utilizando (7) con $d_o = 1$ y $n_o = hk_\omega$, los **parámetros deseados para el PI de velocidad serán:**

$$k_c = \frac{a_1 + 2}{hk_\omega} \quad ; \quad n_c = \frac{1 - a_2}{a_1 + 2} \quad (9)$$

- Si consideramos que la salida del PI **es la referencia de torque T_e^*** , entonces $n_0 = h/J$ y los parámetros deseados serán:

$$k_c = J \frac{a_1 + 2}{h} \quad ; \quad n_c = \frac{1 - a_2}{a_1 + 2} \quad (10)$$

Lazo de Velocidad

FT Lazo cerrado para PI + Integrador

$$H_{LC}(z) = \frac{k_o(z - n_c)}{z^2 + (k_o - d_o - 1)z + (d_o - k_on_c)} \quad ; \quad d_o = 1$$

- Entonces utilizando (7) con $d_o = 1$ y $n_o = hk_\omega$, los **parámetros deseados para el PI de velocidad serán:**

$$k_c = \frac{a_1 + 2}{hk_\omega} \quad ; \quad n_c = \frac{1 - a_2}{a_1 + 2} \quad (9)$$

- Si consideramos que la salida del PI **es la referencia de torque T_e^*** , entonces $n_o = h/J$ y los parámetros deseados serán:

$$k_c = J \frac{a_1 + 2}{h} \quad ; \quad n_c = \frac{1 - a_2}{a_1 + 2} \quad (10)$$

Lazo de Velocidad: Comentarios finales

- Considerando que se desprecia el polo en el origen, la respuesta real del sistema será levemente diferente a la esperada por diseño (siempre que $f_s \gg 2\pi f_n$).
- El método de diseño se enfoca en asignar los polos de lazo cerrado del sistema controlado y no considera los ceros de lazo cerrado.
- Sin embargo, permite una sencilla parametrización de los controladores en términos de la frecuencia de muestreo (altamente relacionada con las pérdidas del convertidor), coeficiente de amortiguamiento y frecuencia natural no amortiguada.
- Para un diseño más acabado, se sugiere utilizar la herramienta *rltool* de MATLAB.

References



R. P. Aguilera, P. Acuna, G. Konstantinou, S. Vazquez, and J. I. Leon, “Chapter 2 - basic control principles in power electronics: Analog and digital control design,” in *Control of Power Electronic Converters and Systems* (F. Blaabjerg, ed.), pp. 31 – 68, Academic Press, 2018.



K. Ogata, *Discrete-Time Control Systems (2nd Edition)*.
Pearson, 1995.



K. J. Astrom and B. Wittenmark, *Basic Control Principles in Power Electronics*.
Prentice Hall, 2002.

Implementación Digital y Sintonización de Controladores en Tiempo Discreto

Andrés Mora ¹

¹Universidad Técnica Federico Santa María, Valparaíso, Chile

Primavera, 2019

